

圖 8-2 不同土層沉陷槽寬度參數與隧道深度之無因次關係  
(after Peck, 1969)

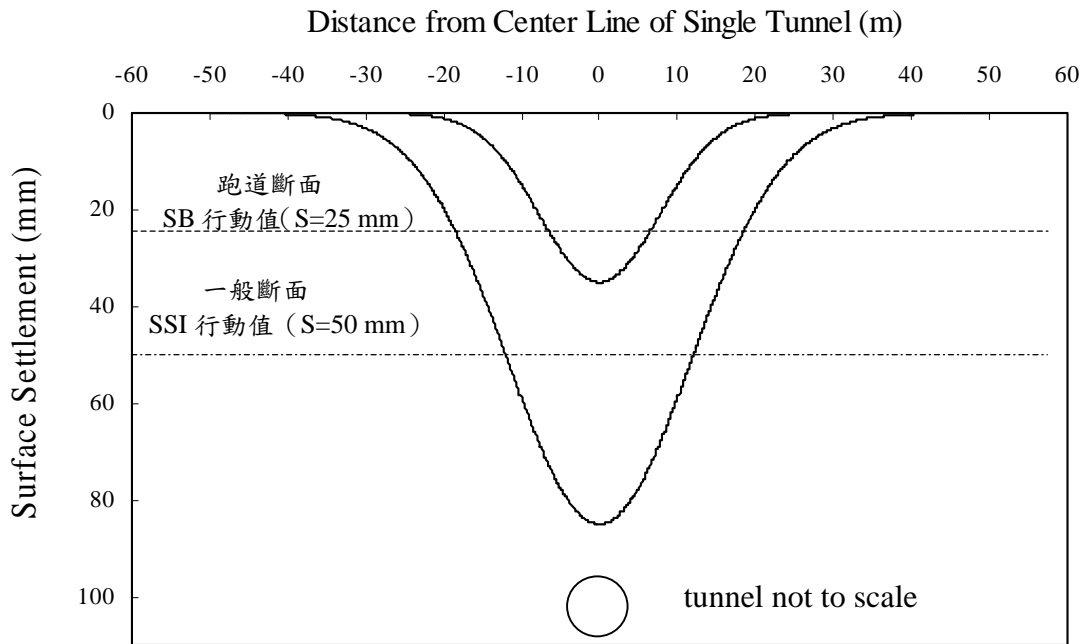


圖 8-3 依據 Peck-Fujita 方法預測之單隧道之地表沉陷範圍

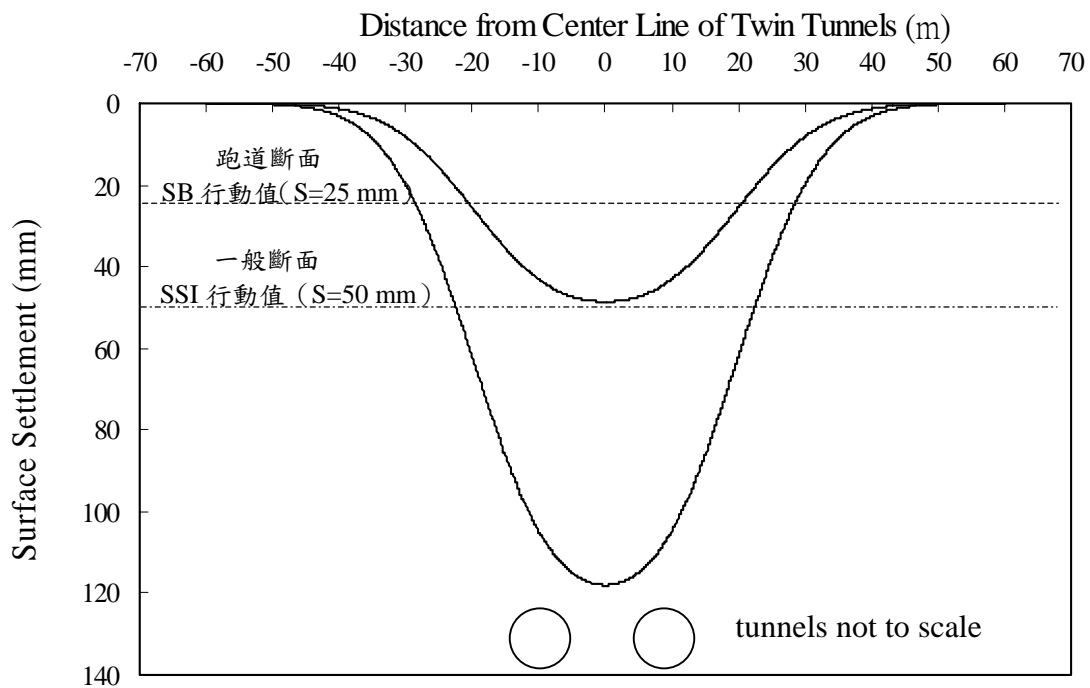


圖 8-4 依據 Peck-Fujita 方法預測之雙隧道之地表沈陷範圍

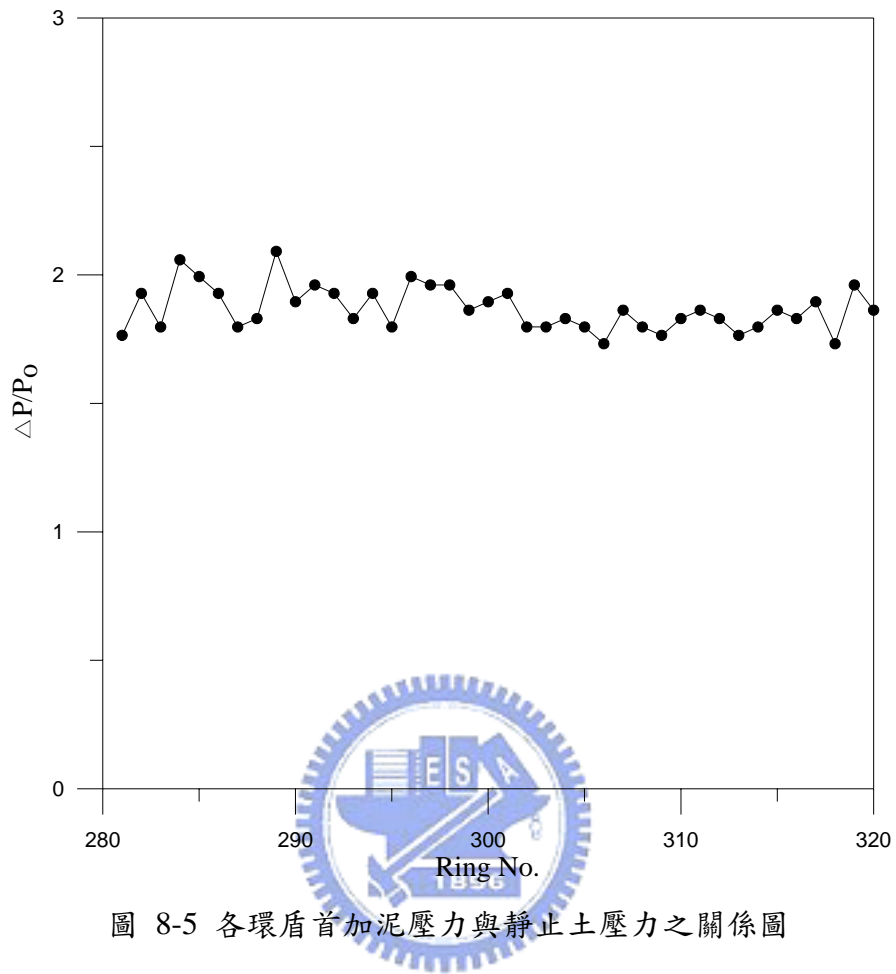


圖 8-5 各環盾首加泥壓力與靜止土壓力之關係圖

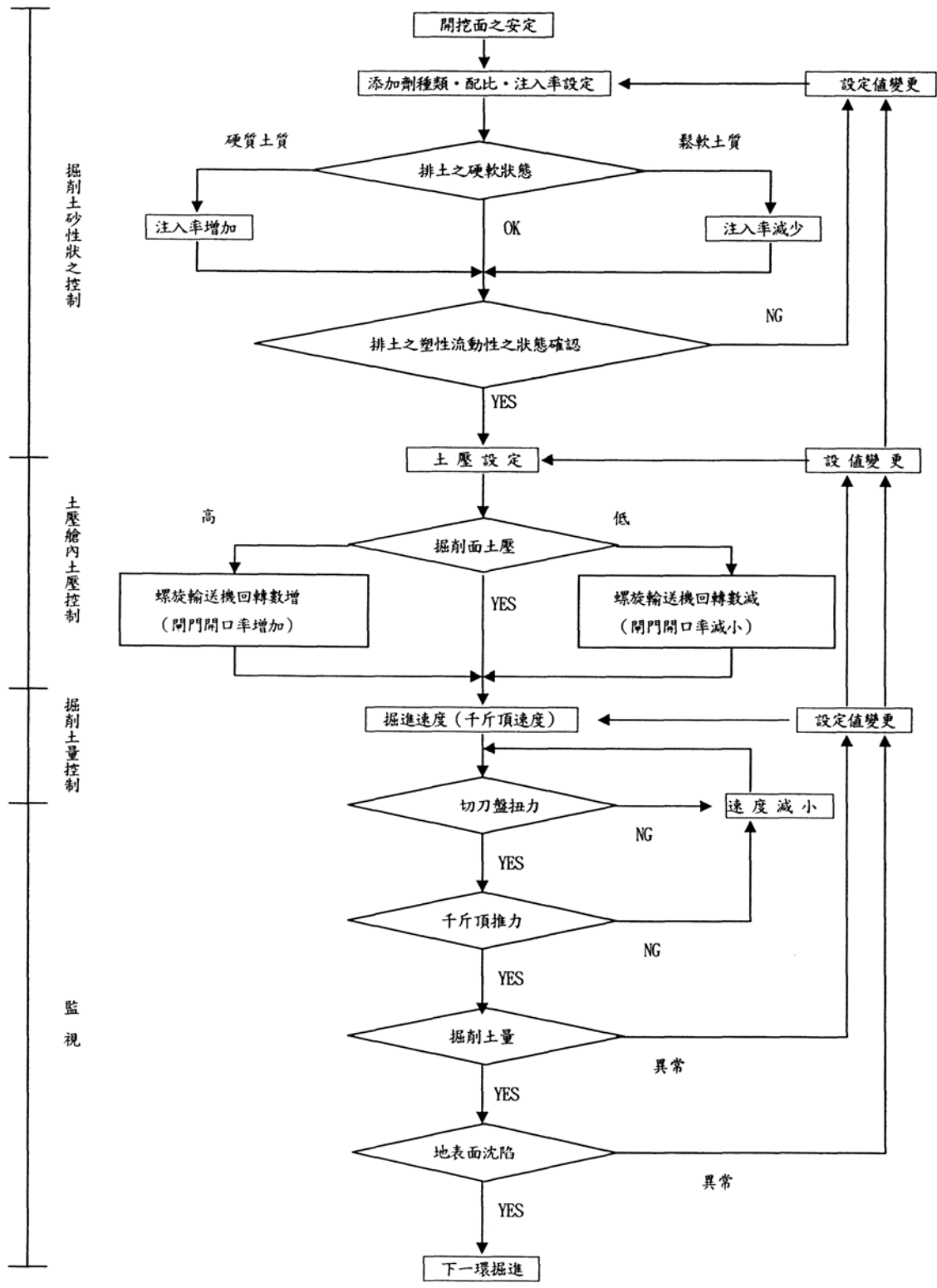


圖 8-6 掘進控制流程圖  
(摘自 大陸工程，2003)

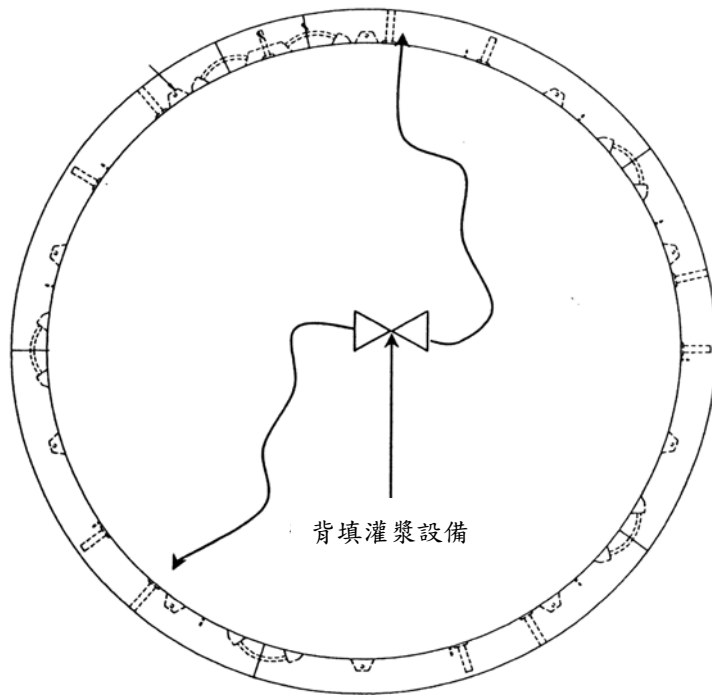


圖 8-7 兩方向背填灌漿示意圖  
 (摘自 大陸工程, 2003)

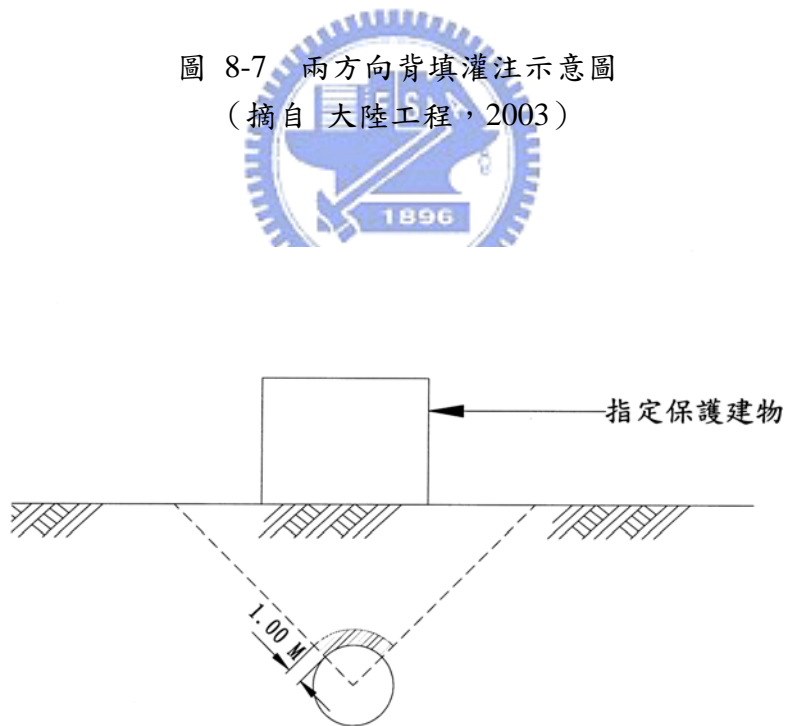


圖 8-8 二次灌漿施作範圍圖  
 (摘自 大陸工程, 2003)

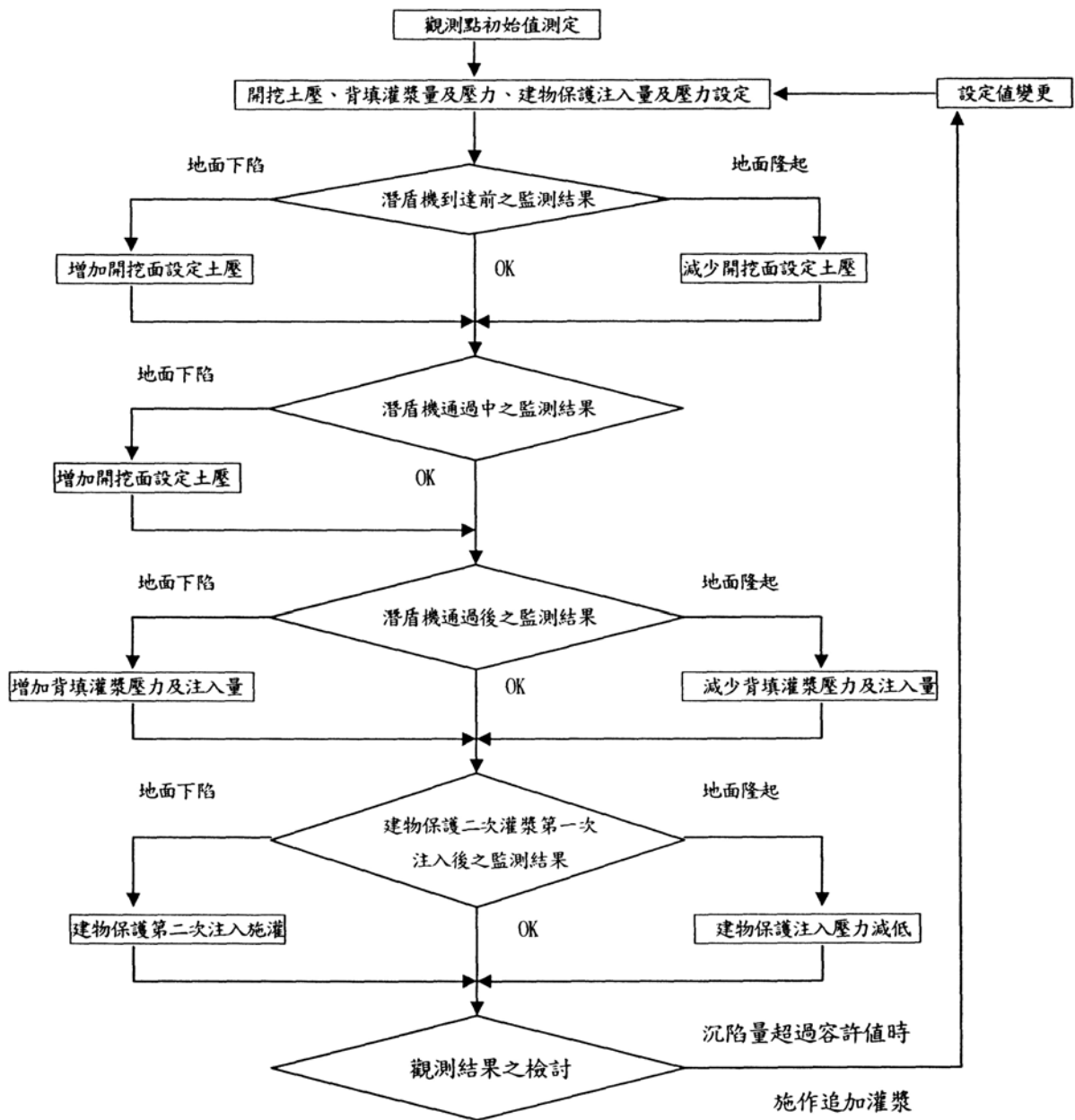


圖 8-9 沉陷量管理流程圖  
 (摘自 大陸工程，2003)

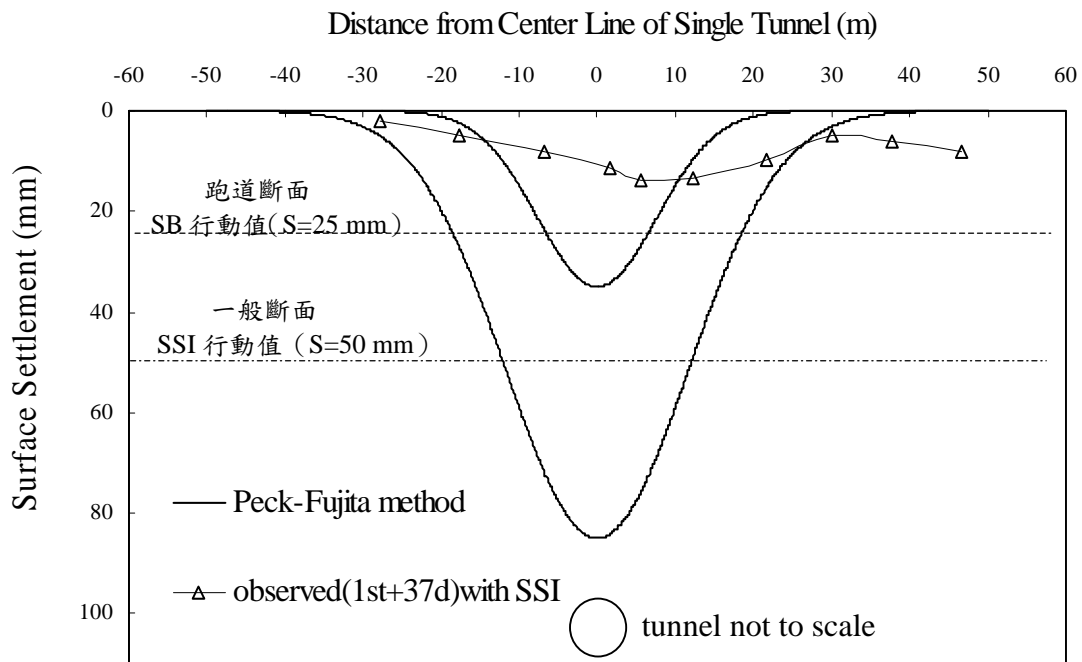


圖 8-10 MC-A-03 断面之沉陷槽

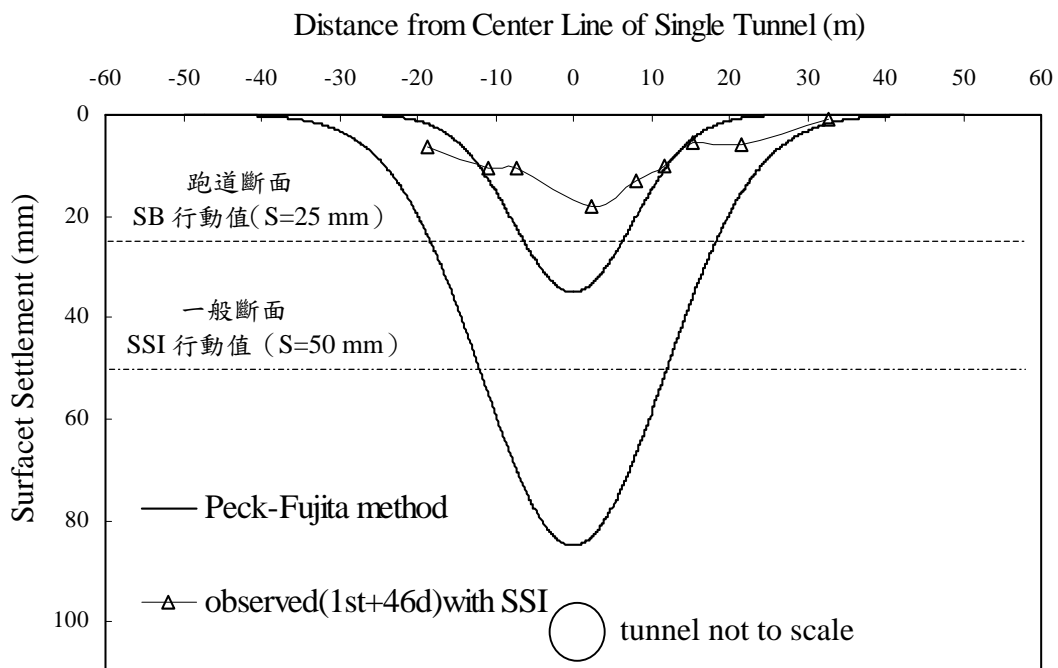


圖 8-11 MC-B-07 断面之沉陷槽



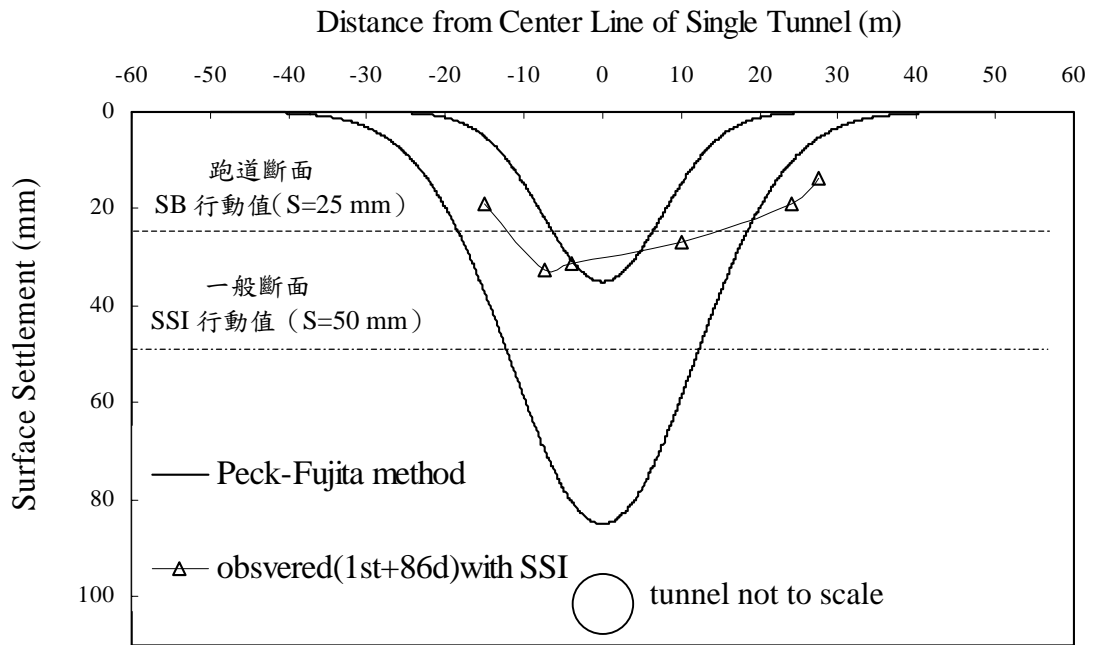


圖 8-12 MC-B-08 断面之沉陷槽



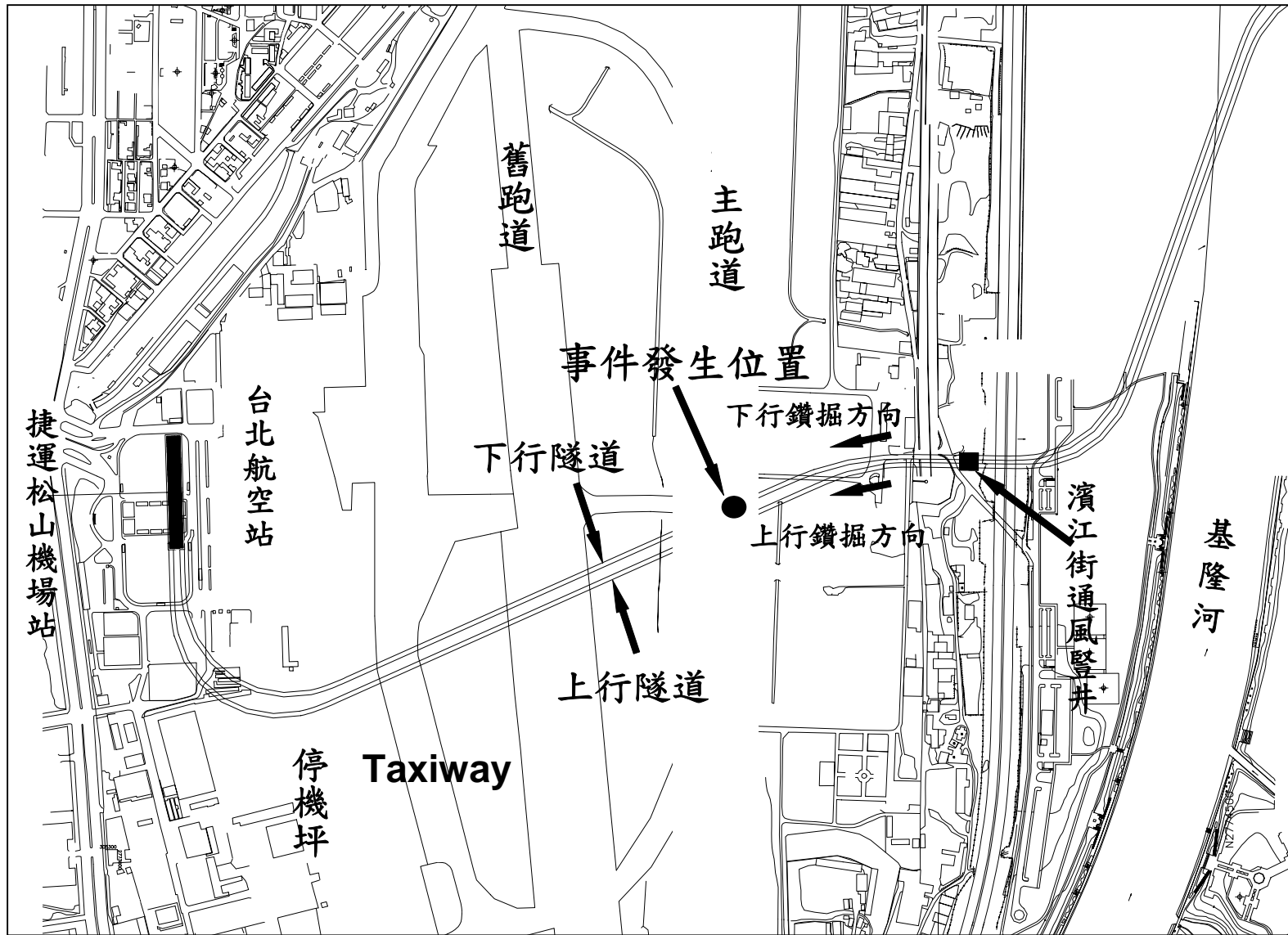


圖 8-13 隆起事故位置圖 (摘自 大陸工程, 2004)

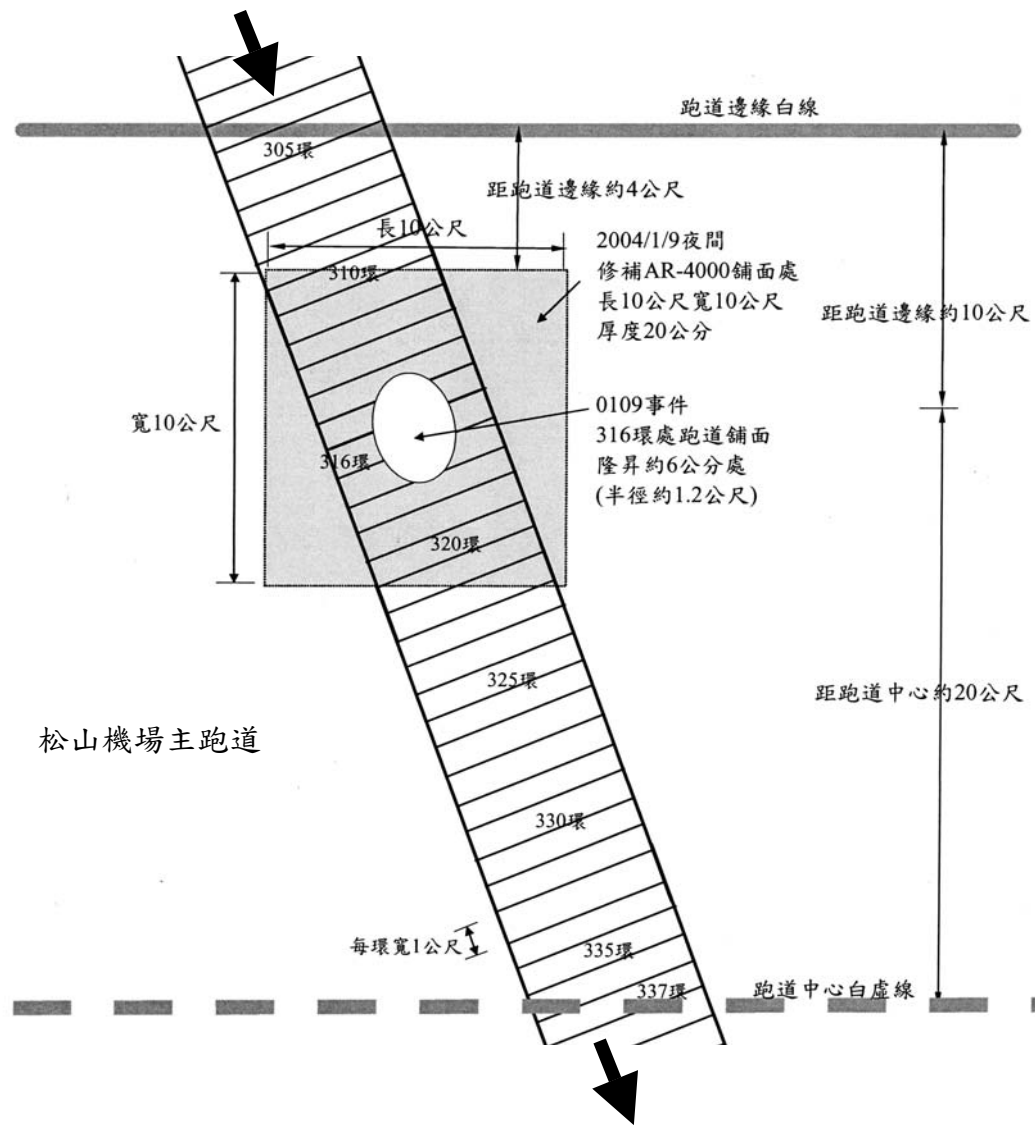


圖 8-14 跑道隆起位置平面圖 (摘自 大陸工程, 2004)



圖 8-15 跑道隆起狀況 (摘自 大陸工程, 2004)



圖 8-16 跑道隆起後緊急處理之情況 (摘自 大陸工程, 2004)

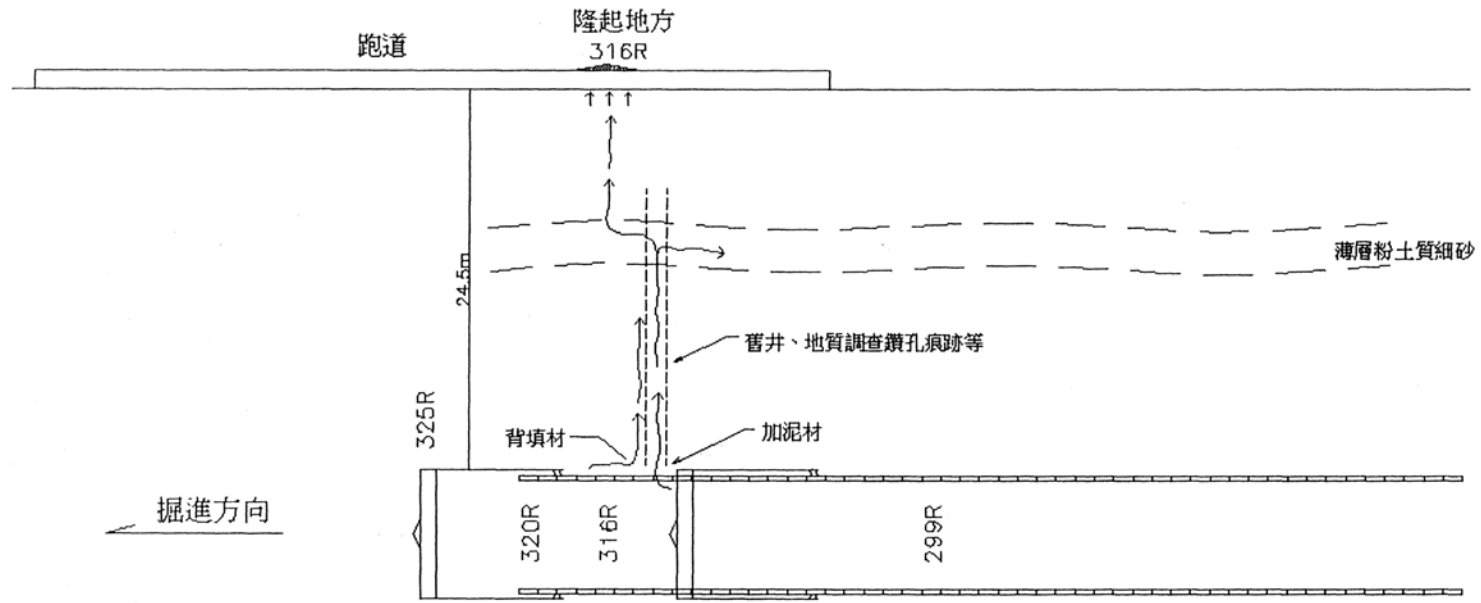


圖 8-17 隆起原因推測圖 (摘自 大陸工程, 2004)

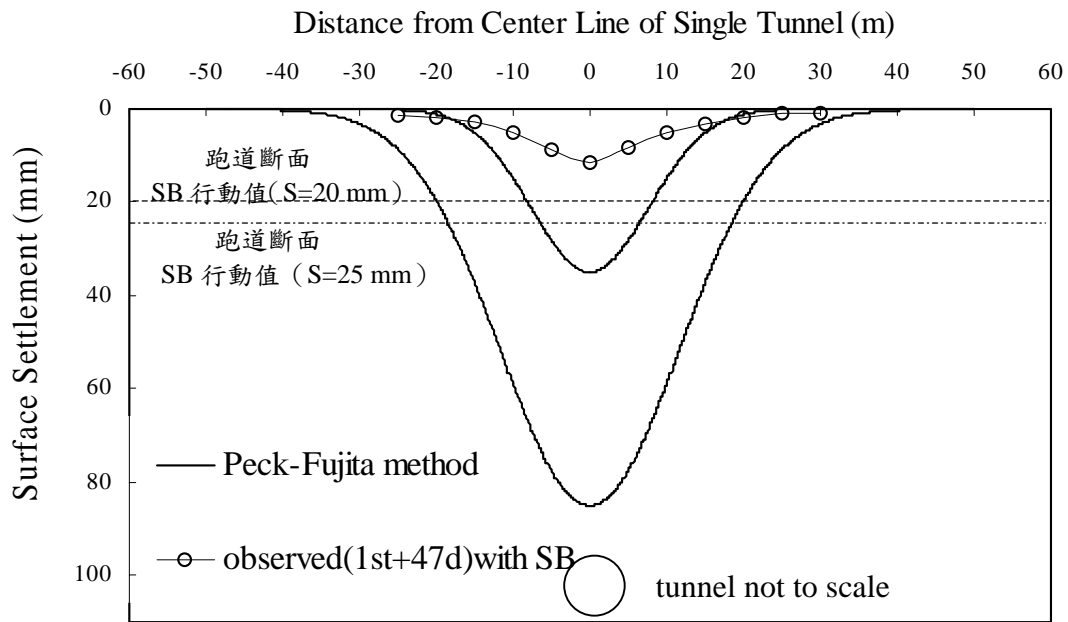


圖 8-18 松山機場主跑道 C 断面之沉陷槽

